

**NEWS**

OF THE NATIONAL ACADEMY OF SCIENCES OF THE REPUBLIC OF KAZAKHSTAN

**SERIES CHEMISTRY AND TECHNOLOGY**

ISSN 2224-5286

Volume 4, Number 424 (2017), 26 – 38

UDC: 620.3, 539.8, 628.1

**D. Yermukhamed<sup>1</sup>, G.K. Mussabek<sup>1,2</sup>, K.K. Dikhanbayev<sup>1,2</sup>,  
Sh.B. Bayganatova<sup>1</sup> and V.A. Sivakov<sup>3</sup>**

<sup>1</sup>al-Farabi Kazakh National University, Almaty, Kazakhstan;

<sup>2</sup>National nanotechnological laboratory of open type, Almaty, Kazakhstan;

<sup>3</sup>Leibniz Institute of Photonic Technology, Jena, Germany,  
Gauhar.Musabek@kaznu.kz

**RECENT ADVANCES IN INVESTIGATION  
AND APPLICATION OF PHOTOCATALYTIC PROCESSES BASED  
ON SEMICONDUCTOR MATERIALS**

**Annotation.** Recently, semiconductor photocatalysis due to its versatile use in various fields has attracted increasing attention of researchers. Here below, we present a review on recent advances in research and application of photocatalytic processes based on semiconductor materials. Article contains an information on details of photocatalytic reaction mechanisms with presence of semiconductors and features of new materials and their photocatalytic properties. The titanium dioxide is considered as widespread classical photocatalyst material with well studied properties. On the one hand, the general requirements for photocatalysts were found by the detailed investigations of photocatalytic properties of titanium dioxide. On the other hand, the rapid development of nanotechnologies resulted to the range of important scientific discoveries in this field. Studies continued with production of new photocatalytically active nano- and hybrid materials. Among these modern nanostructured new materials, we considered properties of hybrid graphene structures, black titanium dioxide, graphite carbon nitride, silicon nanowires as promising and effective ones for semiconductor photocatalysis.

**Keywords:** photocatalysis, semiconductors, nanostructures, hybrid materials, silicon nanowires.

УДК: 620.3, 539.8, 628.1

**Д. Ермұхамед<sup>1</sup>, Г.К. Мұсабек<sup>1,2</sup>, К.К. Диханбаев<sup>1,2</sup>,  
Ш.Б. Байғанатова<sup>1</sup> және В.А. Сиваков<sup>3</sup>**

<sup>1</sup>әл-Фараби атындағы Қазақ Ұлттық университеті, Алматы, Қазақстан;

<sup>2</sup>Ашық типтегі Ұлттық нанотехнологиялық лабораториясы, Алматы, Қазақстан;

<sup>3</sup>Лейбниц Фотондық технологиялар институты, Йена, Германия, Gauhar.Musabek@kaznu.kz

**ЖАРТЫЛАЙӨТКІЗГІШТІК МАТЕРИАЛДАР НЕГІЗІНДЕГІ  
ФОТОКАТАЛИЗ ПРОЦЕССТЕРІН ЗЕРТТЕУ МЕН ҚОЛДАНУҒА  
ҚАТЫСТЫ ЗАМАНАУИ ЖЕТИСТИКТЕР**

**Аннотация.** Соңғы жылдары жартылайөткізгіштік фотокатализ жан-жакты салаларда қолдану мүмкіншіліктерінің арқасында зерттеушілердің қызығушылықтарын тудырып, назарын тартуда. Ұсынылған мақала жартылайөткізгіштік материалдар негізіндеғі фотокатализ процесстерін зерттеу мен қолдануға қатысты заманауи жетістіктерге шолу жасауға арналған. Жұмыста жартылайөткізгіштік фотокатализ процесстерінің механизмдері түсіндіріліп, қолданылатын негізгі және жаңа материалдар туралы аппарат келтірілген. Жартылайөткізгіштік фотокатализдің негізгі материалы болып табылатын титан диоксиді кеңінен тараған классикалық фотокатализатор ретінде қарастырылған. Бір жақтан титан диоксидінің фотокатализдік қасиет-

терін зерттеу арқылы ғалымдардың жалпы фотокатализаторларға қойылатын талаптарды анықтауы, екіншіден, нанотехнологиялардың қарқынды дамуы көптеген маңызды ғылыми ашуулар жасап, жаңа фотокаталитикалық белсенді материалдарды алу технологиясын ұсынуға жол ашты. Осындай заманауи наноқұрылымды жаңа материалдардың ішінен жартылай-әткізгіштік фотокатализ үшін болашагы зор деп титан диоксиді негізіндегі гибридті графендік құрылымдарды, кара титан диоксиді, графиттік қоміртек нитриді және кремний наноталшықтары сияқты жаңа материалдарды атауға болады. Бірақ аталған материалдардың басым бөлігін алғынуы арнайы күрделі әрі техникалық күтімі қымбат қондырылымдарды пайдалануды талап етеді. Фотокатализатор қолжетімді қымбат емес технологияларды қолдану арқылы алғынуы тиіс болғандықтан, кремний наноталшықтары ең тиімді әрі эффективті материалдардың ретінде алдыға шығады.

**Тірек сөздер:** фотокатализ, жартылай-әткізгіштер, наноқұрылымдар, гибридті материалдар, кремний наноталшықтары.

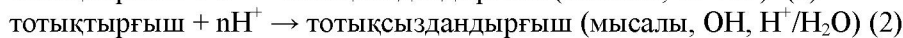
**Кіріспе.** Адамның денсаулығына қауіпсіз суды тазалау, таза экологияны сақтау мен қолдануға байланысты мәселелердің қазіргі заманда өзектілігі қүннен-қунге артуда [1-3]. Бұл мәселелерді шешу мақсатында бүкіл әлем ғалымдары тынбай үнемі ғылыми ізденіс үстінде. Қолжетімді, әрі әмбебап технологияны ойлад табу түрғылықты жердің экологиялық және географиялық ерекшеліктеріне байланысты ауызсудың жетіспеуінен зардал шегіп отырған миллиондаған адамдардың толыққанды және салауатты өмір сүруіне мүмкіндік береді. Аталған сала бойынша ғылыми зерттеулерге Жапония, АҚШ, Еуроодақ мүшелері мен БАӘ елдері сияқты экономикасы жоғары дамыған елдер көп қаржат жұмысайды. Судың өзін тазалау мен көптеген суда еритін органикалық ластағыштарды ыдырату арқылы тазалау мәселелесін шешудің бір тәсілі – ол фотокатализдік ыдырату.

Фотокатализ термині "катализ" (бұзылу) және "фотос" (жарық) деген грек сөздерінен пайда болған. Катализдік химиялық процесстерді адамдар шарап пен сірке қышқылын дайындау үшін ертеден-ақ қолданған. Фотокатализ дегеніміз жарыққа асқан сезімталдылығы бар заттардың катысуымен химиялық реакцияларды жылдамдату немесе жүргізу процесі. Сондықтан да фотокатализаторлар деп жарық кванттарын жұтып, негізгі реагенттердің өзара әсерлесу реакциларының энергиялық балансына үлес коса отырып, реакцияға қатыспайтын заттарды айтамыз. Қазіргі кезде фотокатализаторлар ретінде жартылай-әткізгіштер кеңінен қолданыс тапқан. Әсіресе, су мен ауаны органикалық және бейорганикалық ластағыш заттардан тазалауда жартылай-әткізгіштік гетерогендік фотокатализдің атқаратын рөлі ерекше [1]. Жартылай-әткізгіштік фотокатализдің қаншалықты маңызды және тиімді процесс екендігін түсіну үшін алдымен оның негізгі механизмімен танысып алу қажет.

**Жартылай-әткізгіштік материалдардың негізіндегі фотокатализ процесінің механизмдері және оларды сипаттау.**

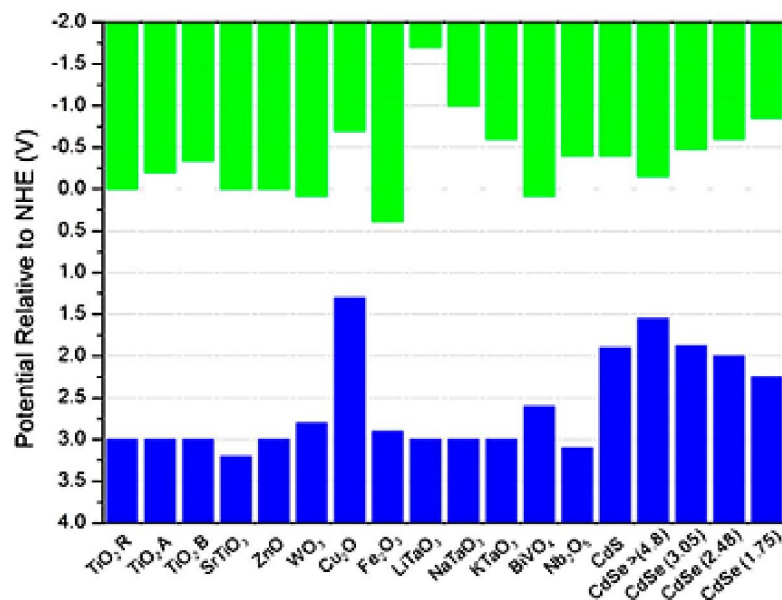
Жартылай-әткізгіштік фотокатализатор бетінде болуы мүмкін тотығу-тотықсыздану жартылай реакцияларының жүзеге асырылуы оның тыйым салынған аумағының шетінің орналасуымен шектеледі [2]. Әр түрлі жартылай-әткізгіш материалдар үшін валенттік және өткізгіштік аумақтары шеттерінің орналасуы айтарлықтай өзгеше екендігі белгілі және реакция жүрудің термодинамикалық ықтималдығы осы аумақтар шеттерінің арасындағы потенциалдармен анықталады. Сондай-ақ, фотокатализдік реакция мен реакция процесі барысында пайда болатын аралық өнімдер мен төсөніштің тотықсыздану потенциалын ( $E$ ) есепке алуымыз қажет. 1-суретте әр түрлі жартылай-әткізгіш материалдар үшін валенттік және өткізгіштік аумақ потенциалдарының көрсеткіштері диаграмма түрінде берілген.

Әр түрлі органикалық және бейорганикалық қосылыстар үшін тотықсыздану потенциалы pH және қолданылатын электролиттің құрамы сияқты реакция шарттарына тәуелді болады. M/M<sup>\*</sup>-реагенттер жұбының тотықсыздану потенциалы (1) және (2) теңдеулерімен сипатталатын реакцияларға сәйкес келеді:

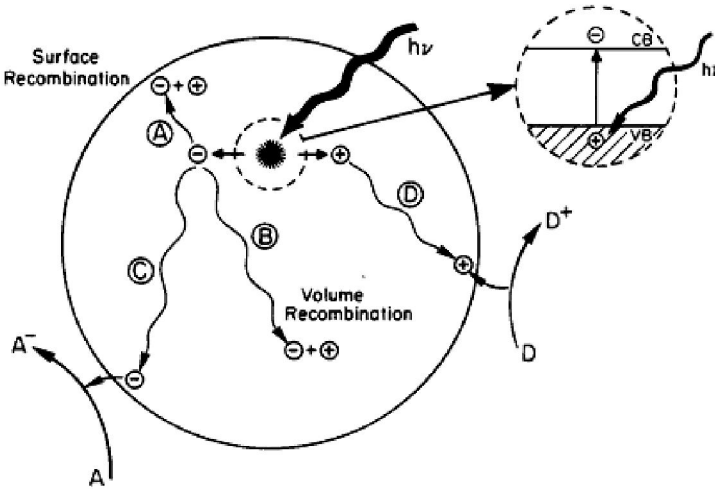


Бұл реакциялардың потенциалдары стандартты сутектік электродқа (ССЭ) қатысты берілетін бір электрондық тотықсыздану реакциясы болып табылады [3].

Органикалық және бей органикалық ластиғыш қосылыстарды жартылай-өткізгіш материалдардың көмегімен фотокатализдік ыдырату процесі қатты денелердің аумақтық теориясы тұрғысынан жақсы түсіндіріледі. Процестің бастапқы кезеңінде жарықтың әсерінен жартылай-өткізгіш материалда электрон-кемтіктік жұптар пайда болады. Энергиясы жартылай-өткізгіштің тыбым салынған аумағына тең не одан жоғары болатын жарықтың жұтылуының салдарынан электрондардың валенттік аумақтан өткізгіштік аумаққа өтуі жүзеге асады. Көп ұзамай жартылай-өткізгіш материалдың бетінде немесе көлемінде бөлініп шыққан электрондар мен кемтіктердің рекомбинациясы орын ала бастайды. Аталған процестердің өту барысының сұлбасы 2-суретте көрсетілген.



Сурет 1 – Жартылай-өткізгіштік материалдардың тыбым салынған аумақтарының энергияларының диаграммасы, яғни, pH 0 болғандагы, қалыпты суспектік электродда қатысты олардың валенттік аумақтары (көк бағаналар) және өткізгіштік аумақтары (жасыл бағаналар) шеттерінің орналасуы [3]



Сурет 2 – Фотосезгіштігі жоғары жартылай-өткізгіштің бетіндегі фотокатализдік реакциясы механизмінің сұлбасы [4]

Фотокатализдік реакцияның белсенділігі кванттық эффективтілік арқылы анықталады. Бұл жайт электрондар мен кемтіктер үшін барлық ықтимал өтулерді есепке алуды қажет етеді.

Идеалды жүйе үшін кванттық эффективтілік келесі қатынаспен анықталады:

$$\phi \propto \frac{k_{CT}}{k_{CT} + k_R} \quad (3)$$

Осыдан кванттық эффективтіліктің заряд тасымалдау процестерінің жылдамдығына ( $k_{CT}$ ) тұра пропорционал және заряд тасымалдау жылдамдығы ( $k_{CT}$ ) мен электрон-кемтіктік рекомбинацияның жылдамдығының ( $k_R$ ) (материалдың бетіндегі және көлеміндегі) қосындысына кері пропорционал екендігі анықталады. Мұндай жүйеде реагенттердің диффузиясы жылдам, ері электрон мен кемтіктердің өзара рекомбинациясын тудыратын қосымша реакциясыз өтуді деп қабылданады. Рекомбинация болмаған жағдайда кванттық эффективтіліктің мәні фотокатализдік процестер үшін 1-ге тең. Мұндай жағдайда, яғни, аскан беттік заряд болмағанда, зарядтарды тасымалдау жылдамдығы заряд тасымалдаушылардың жартылай-өткізгіш бетіне қарай жүретін диффузиясына тәуелді болады. Ал шынайы жүйеде рекомбинация жүреді және жартылай-өткізгіш бетіндегі электрондар мен кемтіктердің концентрациясы бірдей болмайды. Мысалы, беттік аумакта заряд кармауыштардың электрондар мен кемтіктерді қармауының салдары заряд тасымалдау процесінің эффективтілігінің артуына себепші болады [5].

Электрондар мен кемтіктердің рекомбинациясы жартылай-өткізгіштік фотокатализатордың эффективтілігіне кері әсер ететіні белгілі. Аталған мәселеңі шешуде жартылай-өткізгіштерге металдарды қосу, легирлеу немесе басқа жартылай-өткізгіштік материалдармен біркітіру сияқты жартылай-өткізгіштің бетін модификациялау әдістері қолданылады. Осы арқылы электрон мен кемтіктің рекомбинация жылдамдығы азайтылып, фотокатализдік процесстің кванттық эффективтілігі арттыруы мүмкін.

#### **Титан диоксиді - классикалық фотокатализатор.**

Фотокатализ үшін көптеген жартылай-өткізгіш материалдар кеңінен қолданылады және олардың ішінде  $TiO_2$ ,  $ZnO$ ,  $MgO$ ,  $WO_3$ ,  $Fe_2O_3$ ,  $CdS$  сияқтылардың жоғары эффективтілігі байқалған [6]. Жалпы алғанда идеалды фотокатализатор келесідей қасиеттерге ие болуы керек: 1) фотобелсенді; 2) биологиялық және химиялық түрғыдан инертті; 3) фотокоррозияға тәзімді; 4) көрінетін жарық немесе жақын УК жарық аумағында жұмыс істеуге жарамды; 5) арзан; 6) улы емес [7]. Аталған жартылай-өткізгіштік фотокатализаторлардың ішінде титан диоксиді – дәстүрлі, қазіргі кезде кеңінен қолданылатын фотокатализатор болып табылады. Бұл материалдың арзан, химиялық тұрақты, қоршаған ортаға зиян болмауы, өндіріс үшін тиімді болуымен тығыз байланысты. Сонымен қатар титан диоксиді жарықты көрінетін жарық диапазонында жұтпайды [8]. Осы жағдайлардың бәрі  $TiO_2$ -ны фотокатализ үшін таптармас, әмбебап материал етеді.

$TiO_2$ -ның фотокатализдік белсенділігі беттік және құрылымдық қасиеттерге тікелей тәуелді. Жалпы алғанда, фотокатализде титан диоксидінің рутил және анатаз кристалдық құрылымдары кеңінен қолданылады. Екі кристалдық құрылымның арасында анатаздың рутилге қарағанда фотокатализдік белсенділігі әлдеқайда жоғары болатындығы анықталған [9].

Фотокатализдік реакцияның жүруі барысында титан диоксиді фотокатализаторы бетінде ертүрлі химиялық реакциялар өтеді. Су, сутек, оттек, көмірқышқыл газы, азот пен күкірт оксиді, аммоний мен күкіртті қышқылдың және т.с.с. заттардың адсорбциялануы байқалады. Аталған құбылыстарды қөптеген елдердің ғалымдары егжей-тегжейлі зерттеген. Мысалы, Генрих және оның әріптері ақаулары аз  $TiO_2$  (110) бетінде 300 K температурасында судың адсорбциялануы нәтижесінде беттік гидрооксил топтарының пайда болатынын фотоэмиссия әдісі көмегімен анықтады [9]. Бұл зерттеу нәтижесі Мадей тобымен де расталды. Олар осы мақсатта синхotronдық әмиссия әдісін қолданды [10, 11].

Гопельдің тобы [12] температурامен белгіленген десорбция, электронды параметрлік резонанс және беттік өткізгіштік ( $\Delta\phi$ ) пен шығу жұмысын ( $\Delta\phi$ ) өлшеу әдістері көмегімен  $TiO_2$  (110) бетіндегі сутектің адсорбциялануын зерттеді. Беттік ақаулар (оттек вакансиялары) электрондардың доноры қызметін атқарады және сутекті адсорбциялайды. 300 K-дегі сутектің хемосорбциялануы ақауларда сутектің диссоциациялық адсорбциясынан кейін иондық титан гидридтік  $Ti^{4+}-H^-$  байланыстарын қалыптастырады. Адсорбцияланған сутек атомдары  $TiO_2$  (110)

көлемдік кристаллына 300 К температурасында диффузиялайды және электрөткізгіштіктің сзықтық ұлғаюына себеп болуы мүмкін. Беттік ақаулар болмаған жағдайда сутек молекуласын диссоциациялауға қажетті белсендендіру энергиясы өте жоғары болады және адсорбция байқалмайды.

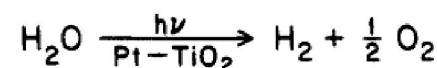
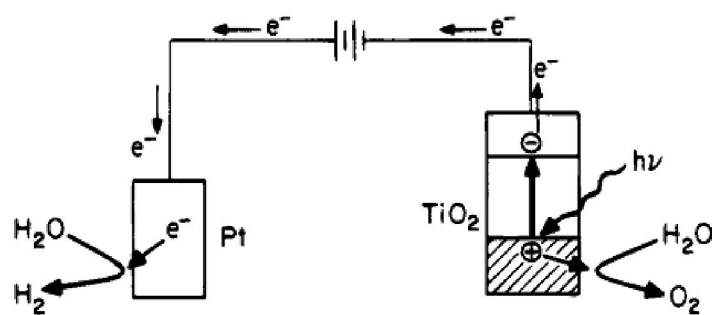
Күртц және оның әріптестері [10] оттектің титан бетінде 400 К-де диссоциацияланатындығын анықтады. Ал Лу бастаған топ [13] 105 К температурасында молекулярлы оттектің титан диоксиді бетінде адсорбцияланатындығын және оттек молекуларының 400 К-нен жоғары температурда диссоциацияланатындығын көрсетті.

Титан диоксидінің химиялық қасиеттерін зерттеу тек таза молекулярлы газдарды адсорбциялау қабілетін ғана қарастырумен шектелмей, сондай-ақ көміртегі, азот және күкірт оксидтері, аммоний және гидросульфат топтарына қатысты сезгіштігін зерттеу жұмыстары арқылы да жүзеге асырылған. Мәселен, Гопельдің тобы [13] CO-ның тек ақауларда адсорбцияланатындығын дөлелдеді. Ал CO<sub>2</sub>-ның аз мөлшері адсорбцияланған CO-ның көршілес оттек атомымен реакциясының нәтижесінде белінеттінін және осының есерінен қосымша оттек вакансиялардың пайда болатынын көрсетті. Лу және оның әріптестері [12] NO-ның титан диоксидінің бетіндегі адсорбциясын зерттеп, 120 К-де десорбцияланатын әлсіз байланысты молекулярлық адсорбциясы күйінің болатындығы туралы баяндады. Ал қайта қалпына келетін өнімнің N<sub>2</sub>O 169-250 К-де десорбцияланатындығы байқалады. 169 К-дегі десорбция құбылысы тек ақаулары бар бетте ғана орын алады, осыған қатысты оның интенсивтілігі беттегі ақауларға тұра пропорционал болады. Роман мен Сеговия [14] фотоэмиссия және температурамен белгіленген десорбция әдістерін пайдаланып, TiO<sub>2</sub> (110) бетіндегі аммонийдың 300 К-де адсорбцияланатындығын анықтады. Сонымен қатар молекулярлы аммонийдың ~338 К-де бірінші реттік кинетика бойынша десорбцияланатындығын да көрсетті. Аммоний топтарының кейбір беліктері диссоциацияланып, нәтижесінде NH<sub>2</sub> мен OH-ты түзеді. Бұл өнімдердің одан ары қарай ыдырауының есери 343 пен 364 К-де азот пен сутектің десорбциясына әкеледі. Бұған дейін Диеболд жүргізген зерттеулер де осындағы нәтижені көрсеткен болатын.

Титан диоксидінің химиялық адсорбциялық және абсорбциялық қасиеттерін мұндай кең ауқымды зерттеулердің жалғасы ретінде фотокатализатордың су және органикалық қарапайым және күрделі қосылыстарды ыдырату реакцияларындағы рөлін зерттеу болды. Мысалы, Сато мен Уайт сұйық титан диоксидінен сутекті алу судың фотокатализдік ыдырау реакциясы болмайтындығын, қайта қалпына келген титан диоксиді бетіндегі оттектік вакансиялардың фотосенсибилизацияланған тотығуы екенін көрсетті. Суды фотодырату реакциялары келесі жүйелерде жүзеге асырылуы мүмкін:

1) Титан диоксиді аноды мен метал катодынан (көбінесе платина) тұратын жабық фотоэлектрохимиялық ұяшықты қолдану (сұлбасы төмендегі 3-суретте көлтірілген). Аталған жүйеде сутек платинадан, ал оттек титан диоксидінен белінеді. Реакцияны қамтамасыз ету үшін күші әлдеқайда аз ішкі потенциал (> 0,25 В) [15] берілуі тиіс. Бұл электрохимиялық ұяшықтағы судың электролиздеу үшін қосылатын кернеуге қарағанда аз (> 1,23 В). Жоғарыда атальп өткен фотоэлектрохимиялық реакция 1970 жылдар мен 1980 жылдардың басында қарқынды зерттелінген [16,17]. Photoэлектрохимиялық ұяшық жүйесі электрохимиялық реакцияларды жүргізу және фотогенерацияланған электрон-кемтіктік жұптарды эффективті бөлу үшін құрастырылған. Мұнда TiO<sub>2</sub>-ны фотокөздөрудың нәтижесінде электрондардың валенттік аумақтан өткізгіштік аумаққа инжекциясы жүреді. Электрондар ішкі тізбек бойымен платиналық катодқа қарай ұмтылады, мұнда су молекулалары сутегі газдың күйіне дейін тотықсызданады, ал кемтіктер қалатын TiO<sub>2</sub> анодының бетінде су молекулалары оттегі газының күйіне дейін тотығады.

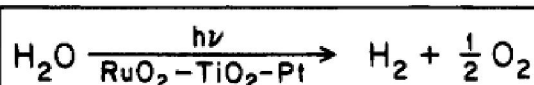
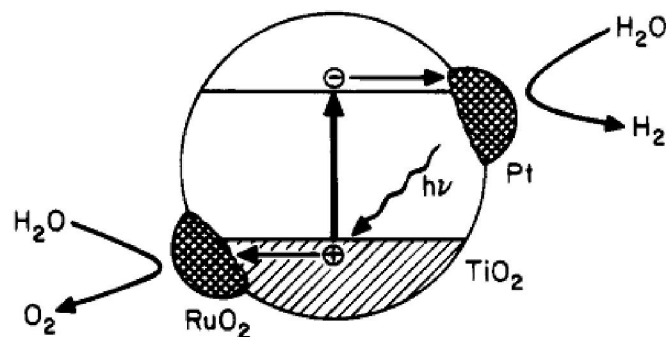
2) H<sub>2</sub> газын бөліп алуға арналған бетінде метал бөлшектері (Pt сияқты) отырғызылған TiO<sub>2</sub> ұнтақтары және O<sub>2</sub> газын бөліп алу үшін қолданылатын метал оксид бөлшектерінен (RuO<sub>2</sub> сияқты) тұратын жүйенің сұлбасы 4-суретте көрсетілген [18]. Бұл жүйе платина катод, ал RuO<sub>2</sub> анод қызметін атқаратын қысқа тұйықталған микро фотоэлектрохимиялық ұяшық болып табылады. Титан төсөнішіндегі тыым салынған аумақтың қозуы теріс зарядталған электрондарды платина бөлшектеріне, ал он зарядталған кемтіктерді RuO<sub>2</sub> бөлшектеріне инжекциялайды. Платинадағы қармалған электрондар судан сутекті, ал RuO<sub>2</sub>-дегі қармалған кемтіктер судан оттекті тотықтырады. Ал платина мен RuO<sub>2</sub>-ның болуы сәйкесінше сутек пен оттектің белініп шығуына жұмсалатын асқын кернеуді азайтады.



Сурет 3 – Фотоэлектрохимиялық ұшықтағы судың фотоыдырауы [4]

Ластағыш заттарды фотокатализдік ыдырату процестерін зерттеу саласында да көптеген еңбектер жарық көрді. Мысалы, кеңінен таралған суды және ауаны ластағыш зат – трихлорэтилен өндірісте еріткіш ретінде қолданылады. Трихлорэтиленді  $\text{TiO}_2$  көмегімен фотоыдырату реакцияларының негізгі өнімдері болып  $\text{CO}_2$ ,  $\text{CO}$ ,  $\text{HCl}$  және  $\text{Cl}_2$  болып табылады. Филлипс және Роупс фотототықтыру реакциясының кинетикасын зерттеп, нәтижесінде  $\text{TiO}_2$  көрсеткен фотокатализдік белсенділіктің жоғарылығын және су буының бөлінбеуін анықтады. Сонымен қатар, газ фазасында [19] және суда ерітілген суспензия түріндегі 4-хлорофенол сияқты, құрылымы бензин сакинасы тәрізді органикалық ластағыш заттың фотоыдырауы зерттелінген.

Келтірілген ақпараттың негізінде  $\text{TiO}_2$  эффективтілігі жоғары, өтес белсенді және қолжетімді фотокатализатор болып табылатындығы анық. Соңдықтан да қазіргі таңда  $\text{TiO}_2$ -нің фотокатализдік қасиеттерін біршама салада қолданудың салдарынан заманауи материалтану ғылымында  $\text{TiO}_2$  және оның негізіндегі композитті материалдарды қалыптастыру және қасиеттерін жан-жақты зерттеуге арналған арнағы ғылыми ағым пайда болған. Бұл  $\text{TiO}_2$  материалының физикалық және химиялық қасиеттерін жан-жақты зерттеудің нәтижесінде алғынған ғылыми мәліметтердің жалпы фотокатализаторларға қойылатын талаптар мен олардың классификациясына сәйкестігін анықтайды.



Сурет 4 – Композиттік катализатордағы судың фотоыдырауы [4]

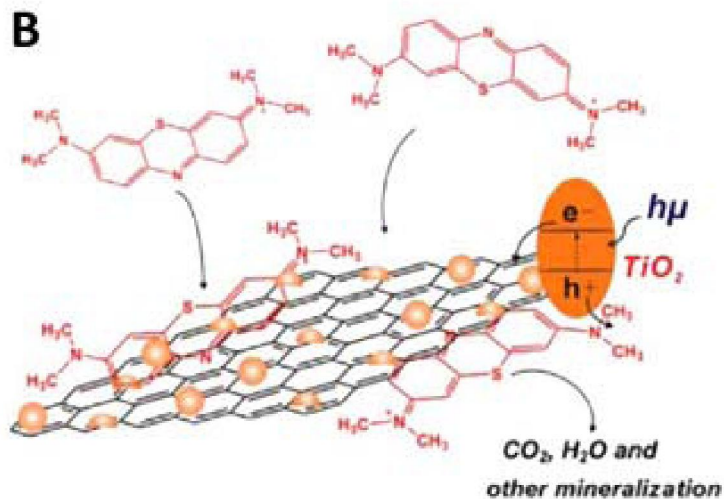
Фотокатализде қолданылатын жартылай өткізгіштік жаңа материалдар.

Наноматериалтану саласының қарқынды дамуына байланысты соңғы жылдары зерттеушілөр наноқұрылымдық материалдардың негізіндегі фотокатализаторлардың бірқатар жаңа түрлерін ұсынып отыр. Олардың ішінде қара титан,  $g\text{-C}_3\text{N}_4$ , графен негізіндегі композиттер және наноқұрылымды кремний сияқты материалдар болашағы зор фотокатализаторлар деп белгіленіп, тәжірибе жүзінде қолданыска ие болған.

**Графен.** Графен өзінің ерекше механикалық, термиялық, оптикалық еткізу (~97%) және термиялық еткізгіштік (~5000 Вт м<sup>-1</sup> К<sup>-1</sup>) қасиеттеріне байланысты зерттеушілердің назарын тартуда [20, 21]. Графен қарапайым графиттен “төменин-жоғары” және “жоғарыдан-төмен” әдістерін қолдану арқылы синтезделіп алынады. Қазіргі кездे салыстырмалы түрде “жоғарыдан-төмен” әдісі өзінің қарапайымдылығы мен қымбат емес болуына байланысты графенді алуда кеңінен қолданылады. Жақсы молекулалық құрылымға ие, жоғары сапалы графенді алуда графитті химиялық ыдырату, термиялық ыдырату және электростатикалық тұндыру “жоғарыдан-төмен” әдістері пайдаланылады. Графен оксидін химиялық қайтадан қалпына келтіру ең кеңінен қолданыска ие әдістердің қатарына жатады. Оны басқаша Хаммерс әдісі деп те атайды [22]. Бұл әдісте қайта қалпына келтірілген графен оксиді қалдық иондар мен қышқылдар сияқты әр түрлі бейорганикалық қосылыстар мен агрегаттарды кетіру мақсатында центрифугалау, жуу және диализ жүргізу арқылы тазаланады.

Әр түрлі әдістермен алынған графен негізіндегі фотокатализаторлар ластаушыларды деградациялау, дезинфекция және сутекті генерациялау үшін қолданылады. Жаңг және әріптестері [23] прекурсор ретінде графен оксиді қолдану арқылы бір сатылы гидротермальдық синтез әдісімен химиялық байланыскан  $TiO_2$ -графен нанокомпозитін (P25) алды. 5-суретте көрсетілгендей графенді ендіру P25-тің тыбым салынған аумағының кішіреюіне әкелсе, ал бұл өз кезеңінде нәтижесінде фотокатализдік белсенділіктің УК және көрінетін жарық жағдайында кек метиленнің суда фотодеградациялануына қатысты айтарлықтай артуына әкеледі [24].

$TiO_2$ -графен (Р25) нанокомпозиті құрамында тұра сондай көміртекі бар Р-25-көміртекі нанотүтікшелері нанокомпозитіне қарағанда жоғары фотодеградациялау жылдамдығына ие. Бұл композиттің құрамындағы графеннің әсерінен үлкен екі өлшемді планарлы құрылымның болуымен, бояғыштардың жақсы адсорбциясымен және заряд тасымалдаушылардың тасымалдануының жақсаруымен тығыз байланысты.  $TiO_2$ -графен құрылымды нанокомпозиттермен қатар  $MoS_2$  - графен -  $TiO_2$ ,  $SnO_2$  - графен,  $ZnFe_2O_4$  - графен,  $Bi_2WO_6$  - графен,  $BiOI$  - графен,  $SmVO_4$  - графен,  $Ag_2CO_3$  - графен және  $Ag$  -  $C_3N_4$  - графен секілді жартылайткізгіштер мен графен композиттері суда ластағыштарды ыдырату үшін эффективті фотокатализатор рөлін атқаратындығы көрсетілген [25].



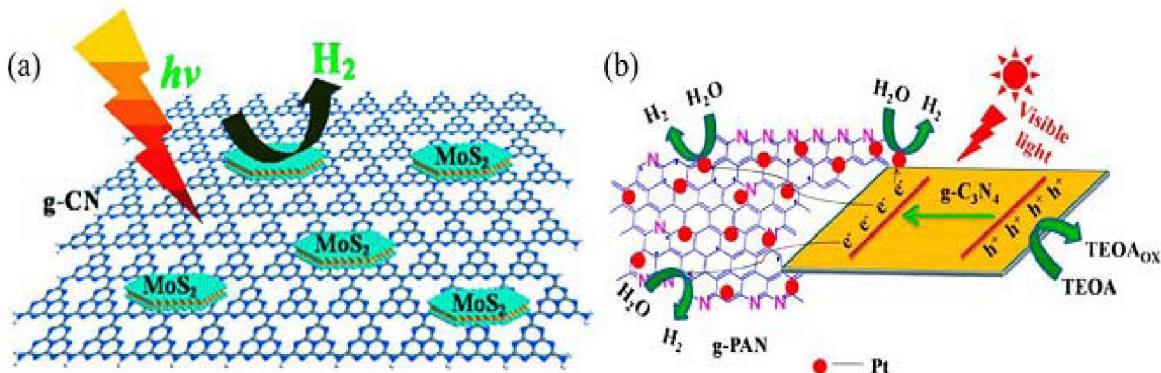
Сүрет 5 – Р25 – графениң сұлбалық құрылымы және көк метилениң Р25 – графениң фотодеградациялану процесси [25]

Графен негізіндегі композиттер басқа да мақсаттарда қолданылуы мүмкін. Оған мысал ретінде Акхаван және әріптерестері [26] жасаған тәжірибелі келтіруге болады. Олар графен оксидін титан диоксиді жүқта қабықшаларына отырғызу арқылы алған графен-TiO<sub>2</sub> қабықшаларын күйдіріп ұнтақ түріндегі нанокомпозит алған. Нанокомпозиттің судағы ерітіндісі күн сәулемесін түсіргендеге Escherichia coli бактериясының 99,9%-ын жоютындығы анықтады. Бұл антибактериялық белсенділік графен-TiO<sub>2</sub> қабықшаларын күйдіру уақыттары мен титан диоксидінің құрылымына байланысты 6-7 есе арттыруға болады.

**Қара титан диоксиді.** Фотокатализдік материалтану саласындағы жаңа материалдардың бірі – қара титан диоксиді. Қара TiO<sub>2</sub> әр түрлі әдістермен алынады. Атап айттын болсақ, сутекті термиялық өңдеу, сутекті плазмалық өңдеу, химиялық қайтадан қалпына келтіру, химиялық тотықтыру, электрохимиялық қайтадан қалпына келтіру. Қара түсті TiO<sub>2</sub> наноматериалдарының түрі бірдей болғанымен, олардың құрылымдары дайындау әдістері мен реакция параметрлерінің ерекшеліктеріне байланысты ажыратылады. Мысалы, Чен бастаған топтың алған гидриренген қара TiO<sub>2</sub> нанобөлшектері ыдырайтын органикалық ластағыштар үшін (метилен көгі және фенол) салыстырмалы түрде жоғары фотокатализикалық қасиеттерін көрсетті және су/метанол ерітіндісінен сутекті генерациялау үшін қолданылды [27].

**Графиттік коміртек нитриді** (g-C<sub>3</sub>N<sub>4</sub>) құрылымы екі өлшемді (2D) болатын жаңа материалдардың тағы бір түрі. Соңғы кездері қызықты фотохимиялық және физика-химиялық қасиеттер көрсетуіне байланысты оның катализдік белсенділігі ғалымдардың назарын өзіне аударуда. g-C<sub>3</sub>N<sub>4</sub>- химиялық инерпті, қышқылдарда, бейтарап немесе сілтілік ерітінділерде ерімейді және құрылымы әлі толығымен анықталмаған. g-C<sub>3</sub>N<sub>4</sub>-ті зерттеу алғаш рет 1834 жылы Берцелиус пен Либих “қауын” деп аталатын полимер туындысын алған кезден басталды [28]. Жүргізілген зерттеулердің нәтижесінде g-C<sub>3</sub>N<sub>4</sub> сыртқы қоршаған ортаның жағдайында коміртек нитридінің ең тұрақты аллотроптық формасы екендігі анықталды. Оның жоғары термиялық төзімділігі (ауда 600 °C-қа дейін) мен химиялық тұрақтылығы (қышқылдар, негіздер мен органикалық еріткіштерге қарсы) g-C<sub>3</sub>N<sub>4</sub>-ті сулы немесе газдық орталарда, сондай-ақ жоғары температураларда қолдануға мүмкіндік береді. Ал бұл өз кезегінде аталған материалды гетерогенді катализ саласында көнінен пайдалануға жол ашады.

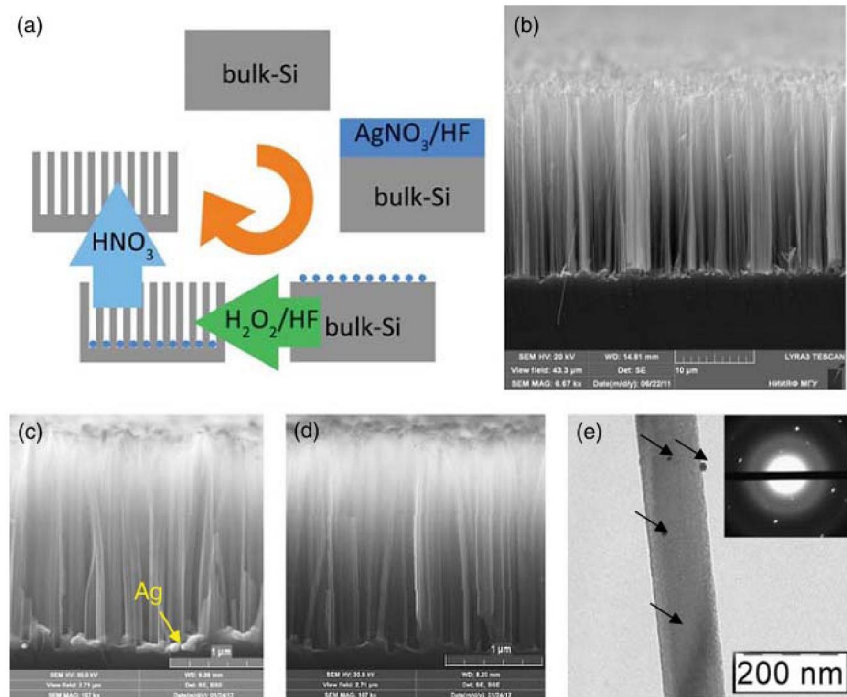
Ұқсас микрокұрылымына қарамастан графит пен g-C<sub>3</sub>N<sub>4</sub>-тің физика-химиялық қасиеттері әр түрлі. Аталған материалдар сыртқы түр-сипатымен (g-C<sub>3</sub>N<sub>4</sub>: сары; графит: қара) ғана емес электрондық қасиеттерімен де ерекшеленеді. Графит күшті өткізгіштік қасиетке ие болса, g-C<sub>3</sub>N<sub>4</sub> кең аумақты жартылай-өткізгіштік қасиетін көрсетеді. Осыған орай g-C<sub>3</sub>N<sub>4</sub> фотосезгіш катализатор ретінде перспективті материал болып саналады. Полимерлік g-C<sub>3</sub>N<sub>4</sub>-ті фотокатализ үшін қолдану жайында ең бірінші 2009 жылы Ванг пен оның тобы баяндады [29]. Содан бері аталған материалдың фотокатализикалық қасиеттері мен реакция механизмдері туралы біршама енбектер жарық көрді. g-C<sub>3</sub>N<sub>4</sub> – оптикалық толқын ұзындығы ~460 нм-ге сәйкес келетін тыйым салынған аумағы ~2.7 эВ болатын полимерлік жартылай-өткізгіш. Оның тыйым салынған аумағы суды ыдырату реакциясының әндотермиялық сипатын жену үшін жеткілікті екені анық.



Сурет 6 – Сутектің бөліну реакциясы процесін сипаттайтын сұлба: көрінетін жарық түскен жағдайда  
а) MoS<sub>2</sub> / mpg-C<sub>3</sub>N<sub>4</sub> қабаттық қосылыстары үшін; б) g-PAN / g-C<sub>3</sub>N<sub>4</sub> композиті үшін [31]

Электрон-кемтік жұптарының рекомбинация жылдамдығын кеміту үшін қолданылатын басқа тиімді әдістердің бірі – ол жартылай-әткізгіштік гибридизация.  $g\text{-C}_3\text{N}_4$ -пен бірге гибридизациялау үшін бейорганикалық метал жартылай-әткізгіштермен катар органикалық немесе полимер материалдар да пайдаланады. Әсіреле,  $g\text{-C}_3\text{N}_4$ / метал(гидр)оксиді мен  $g\text{-C}_3\text{N}_4$ / метал сульфиді нанокомпозиттерінің фотокаталитикалық белсенділігі салыстырмалы түрде жоғары болады [30]. Қабаттық  $\text{MOS}_2$ ,  $\text{WS}_2$  және  $g\text{-C}_3\text{N}_4$ -тің геометриялық жағынан бір-біріне ұқсас болуы терең планарлық шекаралардың онай пайда болуына әкеледі. Ал бұл өз кезегінде  $\text{MOS}_2/g\text{-C}_3\text{N}_4$  пен  $\text{WS}_2/g\text{-C}_3\text{N}_4$ -тің фотобелсенділігін айтартылады [31] (6-сурет). Сонымен қатар сутектің генерациялануын күшейту мақсатында полимерлік материалдар, графен және графитизацияланған полиакрилонейтил қосылған композиттер де қолданылады. Аталған материалдар фотогенерацияланған заряд тасымалдаушыларды эффективті бөлөтін әткізгіш канал қызметін атқарады [32].

**Кремний наноталышықтары.** Оптикалық адсорбцияның кең диапазоны, жоғары жұту интенсивтілігі, электрондардың қозғалыштығының жоғары болуы кремний наноталышықтарын (КНТ) фотокатализ үшін таптырмас материал етеді [33-35]. Кремний наноталышықтарын алуда жалпы екі түрлі әдіс қолданылады. Атап айттын болсақ, жоғарыдан-төмен және төменинен-жоғары әдістері. КНТ-рын қалыптастырудың жоғарыдан-төмен әдісі болып табылатын метал енгізілген химиялық жеміру әдісі (МЕХЖ) негізі үш сатылық процесстен тұрады. Бастапқы процессте күміс нитраты мен фтор қышқылы ерітіндісінен реакция катализаторы болатын асыл металдың (куміс, алтын және мыс жиі қолданылады) нанобөлшектері жартылай-әткізгіш төсөніштің бетіне отырығызылады. Кейін сутегі асқын тотығы және фтор қышқылы қосылған ерітіндіде наноталышықтардың жоғарыдан-төмен өсуі жүзеге асады. КНТ ұзындығы МЕХЖ уақытына тәуелді реттелінеді. Ал әдістің ең соңғы кезеңінде құрылымның бетінде қалған метал нанобөлшектерін азот қышқылында ұстау арқылы алынады (7 (d)-сурет). МЕХЖ-нің қарапайымдылығы, қымбат қондырығыларды қажет етпеуі, әрі арзан болуына байланысты, бұл әдіс кремний наноталышықтарын алудағы ең тиімді әдіс болып саналады. Жеміргіш ерітіндінің негізгі құрамдасы  $\text{H}_2\text{O}_2$  – ның концентрациясының өзгерісі наноталышықтардың беттік морфологиясы мен қасиеттеріне тікелей әсер етеді. Метал енгізілген химиялық жеміру әдісінің кезеңдері төмендегі 7 а-суретте бейнеленген.

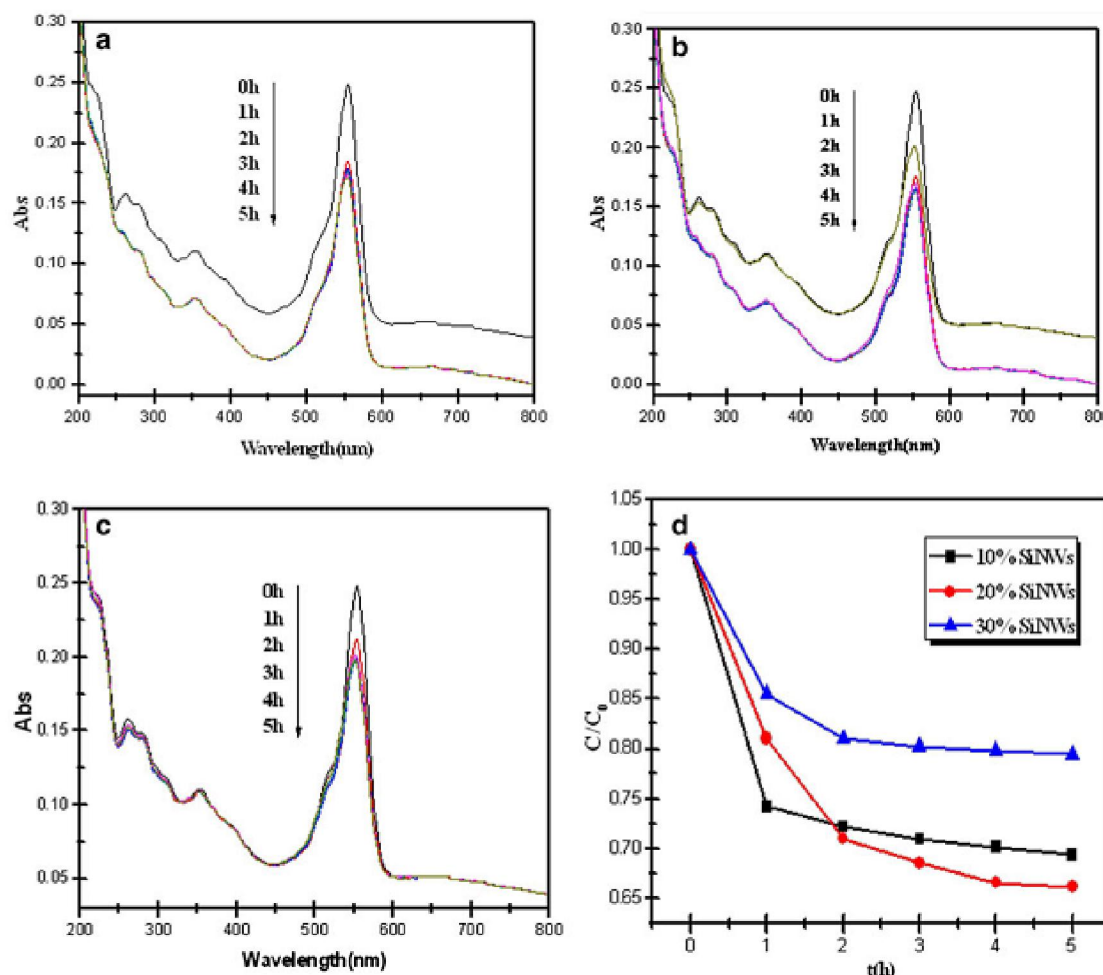


Сурет 7 - Кремний наноталышықтарын МЕХЖ әдісімен алудың сұлбасы (a), (b) ұзындықтары ~2 мкм КНТ; (c) Ag нанобөлшектері алуға дейінгі КНТ; (d) Ag нанобөлшектері алынған КНТ көлденең қимасының СЭМ бейнелері; (e) Ag нанобөлшектері бар (бағдаршамен көрсетілген) жеке кремний наноталышығының ЖЭМ бейнесі (шіндегі кішірейтілген сурет сәйкесінше электрондық дифракция бейнелерін көрсетеді) [39]

7(b)-суретте КНТ үлгісінің көлдененең қимасының СЭМ суреті көрсетілген. Бұл суреттен КНТ (100) кристаллографиялық бағатындағы квазиреттелген диаметрлері 20-дан 200 нм аралығындағы наношөп түрінде болатындығы көрінеді [36, 37]. 7 е-суретте келтірілген ЖЭМ суретінен күміс нанобөлшектерінің КНТ-ның бүйір қабыргаларында да болатындығы байқалады. Соған қарамастан күміс нанобөлшектерімен ластанған, метал енгізілген химиялық жеміру әдісінің көмегімен өсірілген үлгілер микробтарға қарсы қасиеттерге ие болады [38]. Электрондық дифракция бейнесінен Ag нанобөлшектерінің кристалдық құрылымына сәйкес келетін ашық танбалалар және жартылай ретсіз КНТ-ның кеуекті құрылымына сәйкес келетін ақшыл диффузиялық сақиналар байқалады.

КНТ қабыргаларының наноөлшемдегі кедір-бұдырылығы кристалдық кремний төсөнішінің легирлену дәрежесіне және МЕХЖ процесстің режимдерінне тәуелді екені анықталды. Сондай-ақ азот қышкылында КНТ-ың жемірілуі де КНТ наноөлшемдегі кедір-бұдырылығын жогарылатындығы байқалды [39].

Сондай-ақ, КНТ-ның фотокатализдік белсенділігін бағалау мақсатында бірқатар тәжірибелер реті жүргізілді. Осы мақсатта 400-мВт/см<sup>2</sup> ксенон лампасымен жарықтандырыған жағдай үшін RhB фотодеградациясы зерттелінді. 8 а,б,с- суретте көрсетілгендей 10%, 20% және 30% КНТ деградациялануынан кейін RhB қарапайым жүту шыны сәйкесінше сәулелендіру уақыты ұзарған сайын төмендейтінін көреміз.



Сурет 8 – RhB ерітіндісінің УК-көрінетін оптикалық аймақтағы жарықты жүту спектрлері мен кремний наноталшықтарының С-т тәуелділік графиктері. Мұнда, (а-с) Хе дөғалық лампасымен жарықтандырыған жағдайдагы H<sub>2</sub>O<sub>2</sub> электролиттік концентрациясы әр түрлі етіп алғында түзілген КНТ-да ыдыраған RhB ерітіндісінің УК-көрінетін аймақтағы жарық жүту спектрлері: (а) 10%, (б) 20%, (с) 30%. (д) Үш түрлі КНТ-ның С-т тәуелділік графиктері [40]

Әсіреле аталған құбылыс алғашқы бір сағатта адсорбциялық эффектімен байланысты болуы мүмкін. 8 d- суретте көрсетілгендей 10%, 20% және 30% КНТ үшін RhB ыдырау жылдамдығы сәулелендіргенмен кейін 5 сағат өткеннен кейін соған сәйкес шамамен 30%, 35% және 20%-ға жетеді. Алынған нәтижелер кремний наноталышқтары эффективті фотокатализатор қызметін атқаратындығын көрсетті. Атап айттын болсақ, 20%-дық КНТ ең жоғары фотокатализдік ыдырау эффективтілігіне ие болады, ал хаостық қеуектік құрылымға ие 30%-дық КНТ ең нашар эффективтілікке ие болады. Бұл әр түрлі концентрациядағы КНТ-ның морфологиясының әр түрлі болуымен байланысты [40].

КНТ-ның фотокатализдік қасиеттерін зерттеуде басқа да тәжірибелер реті жүргізілді. Деградацияланудың фотокатализикалық эффективтілігін жоғарылату мақасатында асыл метал (платина, палладий, алтын, родий, күміс т.б.) ендірілген КНТ қолданылды.

Осындай заманауи зерттеу нәтижелеріне шолу жасаган кезде фотокатализдік өнеркәсіптің қаншалықты дамығандығына көз жеткізуге болады. 1972 жылы Фужисима мен Хонда титан диоксиді электродтарын қолдану арқылы судың фотокатализикалық ыдырау реакциясын ашқан күннен бастап, гетерогендік фотокатализге деген қызығушылық артып, бұл салада көптеген зерттеулер жүргізілді. Зерттеулердің басым бөлімі энергетика [41], ауыр және жеңіл өнеркәсіп үшін материалдарды дамыту, фармацевтика және косметология салаларына [42] бағытталған болатын. Ал соңғы жылдары экологиялық хал-ахуалдың төмендеуіне байланысты ендігі кезекте қоршаған органды тазартуға арналған тәжірибелерге бет бұрылды [43]. Қазіргі кезде жартылай-әткізгіштік фотокатализдің қолданылу аясы өте кең. Ол суды дезинфекциялауда, суды тазалауда, табиғи органикалық заттарды деградациялауда, әр түрлі бейорганикалық, метал қосылыстарын алып тастауда үшін және тағы сол сияқты мақсаттарда кеңінен пайдаланады.

### **Корытынды**

Фужисима мен Хонда титан диоксидін қолданып судың фотокатализдік ыдырау реакциясын ашқан кезден бастап, гетерогендік фотокатализге деген қызығушылық артып, көптеген теориялық және тәжірибелік зерттеулер жүргізілген. Титан диоксидінің фотокатализикалық қасиеттерін қырық жылдан аса уақыт ішінде зерттеудің нәтижесінде фотокатализаторларға қойылатын талаптар мен фотокатализ реакциясының тиімділігін есептөу шарттары анықталған. XXI ғасырда қарқынды дамып келе жатқан наноматериалтану саласының ұсынатын жаңа материалдар мен технологиялары көптеген салалардың дамуына өз үлесін қосып отыратыны сөзсіз. Себебі нанотехнологиялардың көмегімен жаңа қасиеттері көрсетілген материалдарды алу наноөлшемдік құрылымдарын басқару арқылы жүзеге асады. Жартылай-әткізгіштік фотокатализ саласында да осындай нанотехнологиялық әдістердің көмегімен алынған жаңа функционалды-фотокатализикалық белсенді материалдар тобы ұснылыған. Жаңа материалдар жақсы зерттелінген титан диоксиді мен графен, метал және метал-оксид нанобөлшектерінің негізінде түзілген композиттер мен кремний наноталышқтары сияқты құрылымдар арқылы сипатталады. Көбінесе композитті материалдарды алу үшін қымбат, әрі құрделі технологиялар қолданылады, сол үшін де бүгінгі күндеңі фотокатализдік материалтанудың дамуының негізгі бағыты қолжетімді, әрі арзан технологияларды іздеу болып табылады. Бұл тұрғыдан алғанда кремний наноталышқтары өте тиімді материал болып табылады, өйткені заманауи зерттеулер олардың фотокатализдік белсенділігінің жоғары екендігін көрсетіп отыр. Екіншіден, кремний – уландыру деңгейі төмен материалдардың бірі, сондықтан да фотокатализде наноқұрылымды кремнийді қолдану экологиялық су және ауаны тазалау мәселелерінің тиімді шешімдерінің бірі ретінде қарастырылуы әбден мүмкін.

### **ӘДЕБІЕТ**

- [1] Omar M., Aziz H.A. (2013) Photocatalytic degradation of organic pollutants in water, Environmental Sciences, Chapter 8, Organic pollutants – monitoring, risk and treatment, Intech, 195-208. DOI: 10.5772/53699
- [2] Krol R., Krol R.D., M. Grätzel (2012) Photoelectrochemical hydrogen production, Springer, US. ISBN: 978-1-4614-1379-0
- [3] Hakki A., Schneider J., Bahnemann D. (2016) Photocatalysis: fundamentals and perspectives, RSC Energy and environment series, Understanding the chemistry of photocatalytic processes, Ch. 2, Cambridge, UK. ISBN: 978-1-78262-041-9
- [4] Linsebigler A.L., Lu G., Yates J.T. (1995) Photocatalysis on TiO<sub>2</sub> surfaces: principles, mechanisms, and selected results, Chemical Review, 95:735-758.

- [5] Radwan A.A. (2005) Water treatment by heterogeneous photocatalysis an overview. Proceedings of SWCC Acquired Experience Symposium, Jeddah, Saudi Arabia. P. 5-14.
- [6] Changqing Z., Maojun Z., Zuzhou X., Hong L., Wenzhong S. (2014) Electrochemically etched triangular pore arrays on GaP and their phototransfer properties from water oxidation, International journal of hydrogen energy, 39:10861-10869. DOI: [10.1016/j.ijhydene.2014.05.022](https://doi.org/10.1016/j.ijhydene.2014.05.022)
- [7] Hashimoto K., Irie H., Fujishima A. (2005) TiO<sub>2</sub> phototransfer: a historical overview and future prospects, Japanese Journal of Applied Physics, 44(12):8269-8285. DOI: [10.1143/JJAP.44.8269](https://doi.org/10.1143/JJAP.44.8269)
- [8] Henrich V. E., Dresselhaus G., Zeiger H. J. (1977) Chemisorbed phases of H<sub>2</sub>O on TiO<sub>2</sub> and SrTiO<sub>3</sub>, Solid State Communication, 24:623-626. DOI: [10.1016/0038-1098\(77\)90376-3](https://doi.org/10.1016/0038-1098(77)90376-3)
- [9] Kurtz R. L., Stockbauer R., Madey T. E., Roman E., de Segovia J.L. (1989) Synchrotron radiation studies of H<sub>2</sub>O on TiO<sub>2</sub> (100), Surface Science, 218:178-200. DOI: [10.1016/0039-6028\(89\)90626-2](https://doi.org/10.1016/0039-6028(89)90626-2)
- [10] Pan J. M., Maschhoff B. L., Diebold U., Madey T. E. (1992) Interaction of water, oxygen, and hydrogen with TiO<sub>2</sub> (110) surfaces having different defect densities, Journal of Vacuum Science and Technology A, 10:2470. DOI: [10.1116/1.577986](https://doi.org/10.1116/1.577986)
- [11] Lu G., Linsebigler A., Yates J. T. (1994) Ti<sup>3+</sup> defect sites on TiO<sub>2</sub> (110): production and chemical detection of active sites, Journal of Physical Chemistry, 98:11733-11738. DOI: [10.1021/j100096a017](https://doi.org/10.1021/j100096a017)
- [12] Gopel W., Rocker G., Feierabend R. (1983) Intrinsic defects of TiO<sub>2</sub> (110): Interaction with chemisorbed O<sub>2</sub>, H<sub>2</sub>, CO and CO<sub>2</sub>, Physical Review B, 28:3427. DOI: [10.1103/PhysRevB.28.3427](https://doi.org/10.1103/PhysRevB.28.3427)
- [13] Roman E., de Segovia (1991) Adsorption of ammonia on TiO<sub>2</sub> (001) at room temperature, Surface Science, 252:742-746. DOI: [10.1016/0039-6028\(91\)91090-K](https://doi.org/10.1016/0039-6028(91)91090-K)
- [14] Diebold U., Madey T. E. (1992) Adsorption and electron stimulated desorption of NH<sub>3</sub>/TiO<sub>2</sub> (110), American Vacuum Society, 10:2327-2335. DOI: [10.1116/1.577939](https://doi.org/10.1116/1.577939)
- [15] Bard A. (1980) Photoelectrochemistry, Science, 207:139-144. DOI: [10.1126/science.207.4427.139](https://doi.org/10.1126/science.207.4427.139)
- [16] Gratzel M. (1983) Energy resources through photochemistry and catalysis, Academic Press, New York. ISBN: 0-12-295720-2
- [17] Duonghong D., Borgarello E., Gratzel M. (1981) Dynamics of light-induced water cleavage in colloidal systems, Journal of American Chemical Society, 103:4685-4690. DOI: [10.1021/ja00406a004](https://doi.org/10.1021/ja00406a004)
- [18] Zhang H., Lv X., Li Y., Wang Y., Li J. (2010) P-25 graphene composite as a high performance photocatalyst, ACS Nano, 4:380. DOI: [10.1021/nn901221k](https://doi.org/10.1021/nn901221k)
- [19] Stafford U., Gray K.A., Kamat P.V., Varma A. (1993) An in situ diffuse reflectance FTIR investigation of photocatalytic degradation of 4-chlorophenol on a TiO<sub>2</sub> powder surface, 205 (1):55-61. DOI: [10.1016/0009-2614\(93\)85166-L](https://doi.org/10.1016/0009-2614(93)85166-L)
- [20] Zhang N., Zhang Y.H., Xu Y.J. (2012) Recent progress on graphene-based photocatalysts: current status and future perspectives, Nanoscale, 4:5792. DOI: [10.1039/C2NR31480K](https://doi.org/10.1039/C2NR31480K)
- [21] Dong L.Z., He Y.M., Lin H.J., Hu W.D., Wang S.S., Luo M.F., Zhao L.H. (2014) Preparation, characterization and photocatalytic activity of graphene doped SmVO<sub>4</sub> photocatalyst, Materials Letters, 122:17-20. DOI: [10.1016/j.matlet.2014.01.174](https://doi.org/10.1016/j.matlet.2014.01.174)
- [22] Gao W., Wang M., Ran C., Li L. (2015) Facile one-pot synthesis of MoS<sub>2</sub> quantum dots-graphene-TiO<sub>2</sub> composites for highly enhanced photocatalytic properties, Chemical Communication, 51:1709-1712. DOI: [10.1039/C4CC08984G](https://doi.org/10.1039/C4CC08984G)
- [23] Wu S., Wang P., Cai Y., Liang D., Ye T., Tian Z., Liu J., Liang C. (2015) Reduced graphene oxide anchored magnetic ZnFe<sub>2</sub>O<sub>4</sub> nanoparticles with enhanced visible-light photocatalytic activity, RSC Advances, 5:9069-9074. DOI: [10.1039/C4RA14587A](https://doi.org/10.1039/C4RA14587A)
- [24] Chen L., Xie L., Wang M., Ge X. (2015) Preparation of three-dimensional inverse opal SnO<sub>2</sub>/graphene composite microspheres and their enhanced photocatalytic activities, Journal of Materials Chemistry A, 3:2991-2998. DOI: [10.1039/C4TA05898D](https://doi.org/10.1039/C4TA05898D)
- [25] Lv H., Liu Y., Hu J., Li Z., Lu Y. (2014) Ionic liquid-assisted hydrothermal synthesis of Bi<sub>2</sub>WO<sub>6</sub>-reduced graphene oxide composites with enhanced photocatalytic activity, RSC Advances, 4:63238-63245. DOI: [10.1039/C4RA11276H](https://doi.org/10.1039/C4RA11276H)
- [26] Akhavan O., Ghaderi E. (2009) Photocatalytic reduction of graphene oxide nanosheets on TiO<sub>2</sub> thin film for photoinactivation of bacteria in solar light irradiation, Journal of Physical Chemistry C, 113:20214-20220. DOI: [10.1021/jp906325q](https://doi.org/10.1021/jp906325q)
- [27] Chen X., Liu L., Yu P.Y., Mao S.S. (2011) Increasing solar absorption for photocatalysis with black hydrogenated titanium dioxide nanocrystals, Science, 331: 746. DOI: [10.1126/science.1200448](https://doi.org/10.1126/science.1200448)
- [28] Akhavan O., Choobtashani M., Ghaderi E. (2012) Protein degradation and RNA efflux of viruses photocatalyzed by graphene-tungsten oxide composite under visible light irradiation, Journal of Physical Chemistry C, 116:9653-9659. DOI: [10.1021/jp301707m](https://doi.org/10.1021/jp301707m)
- [29] Wang X. C., Maeda K., Thomas A., Takanabe K., Xin G., Carlsson J. M., Doman K. and Antonietti M. A. (2009) A metal-free polymeric photocatalyst for hydrogen production from water under visible light, Nature Materials, 8:76-80. DOI: [10.1038/nmat2317](https://doi.org/10.1038/nmat2317)
- [30] Hou Y.D., Laursen A.B., Zhang J.S., Zhang G.G., Zhu Y.S., Wang X.C. (2012) Layered nanojunctions for hydrogen-evolution catalysis, Angewandte Chemie (International Edition), 52:3621-3625. DOI: [10.1002/anie.201210294](https://doi.org/10.1002/anie.201210294)
- [31] Kang Z.H., Tsang C.H., Wong N.B., Zhang Z.D., Lee S.T. (2007) Silicon quantum dots: a general photocatalyst for reduction, decomposition, and selective oxidation reactions, Journal of American Chemical Society, 129:12090-12091. DOI: [10.1021/ja075184x](https://doi.org/10.1021/ja075184x)
- [32] Shao M.W., Cheng L., Zhang X., Ma D.D., Lee S.T. (2009) Excellent photocatalysis of HF-treated silicon nanowires, Journal of American Chemical Society, 131:17738-17739. DOI: [10.1021/ja908085c](https://doi.org/10.1021/ja908085c)

- [33] Liu Y., Ji G., Wang J., Liang X., Zuo Z., Shi Y. (2012) Fabrication and photocatalytic properties of silicon nanowires by metal-assisted chemical etching: effect of H<sub>2</sub>O<sub>2</sub> concentration, *Nanoscale Research Letters*, 7:663. DOI: 10.1186/1556-276X-7-663
- [34] Kang Z.H., Tsang Ch.A., Wong N.B., Zhang Z.D., Lee S.T. (2007) Silicon quantum dots: a general photocatalyst for reduction, decomposition, and selective oxidation reactions, *Journal of American Chemical Society*, 129:12090–12091. DOI: 10.1021/ja075184x
- [35] Kang Z.H., Liu Y., Tsang Ch.A., Ma D.D., Fan X., Wong N.B., Lee S.T. (2009) Water-soluble silicon quantum dots with wavelength-tunable photoluminescence, *Advanced Materials*, 21:661–664. DOI: 10.1002/adma.200801642
- [36] Megouda N., Cofinimier Y., Szunerits S., Hadjersi T., ElKechai O., Boukherroub R. (2011) Photocatalytic activity of silicon nanowires under UV and visible light irradiation, *Chemical Communications*, 47:991-993. DOI: 10.1039/C0CC04250A
- [37] Sivakov V. A., Voigt F., Berger A., Bauer G. and Christiansen S. H. (2010) Roughness of silicon nanowire sidewalls and room temperature photoluminescence, *Physical Review B*, 82:125446. DOI: 10.1103/PhysRevB.82.125446
- [38] Timoshenko V. Yu., Gonchar K. A., Golovan L. A., Efimova A. I., Sivakov V. A., Dellith A. and Christiansen S. H. (2011) Photoluminescence and Raman scattering in arrays of silicon nanowires, *Journal of Nanoelectronics and Optoelectronics*, 6:519-524 . DOI: 10.1166/jno.2011.1205
- [39] Lv M., Su S., He Y., Huang Q., Hu W., Li D., Fan C. and Lee S.T. (2010) Long-term antimicrobial effect of silicon nanowires decorated with silver nanoparticles, *Advanced Materials*, 22:5463. DOI: 10.1002/adma.201001934
- [40] Gonchar K. A., Osminkina L. A., Galkin R. A., Gongalsky M. B., Marshov V. S., Timoshenko V. Yu., Kulmas M. N., Solovyev V. V., Kudryavtsev A. A., Sivakov V. A. (2012) Growth, structure and optical properties of silicon nanowires formed by metal-assisted chemical etching, *Journal of Nanoelectronics and Optoelectronics*, 7(6):602-606. DOI: 10.1166/jno.2012.1401
- [41] Kapilashrami M., Zhang Y., Liu Y., Hagfeldt A. and Guo J. (2014) Probing the optical property and electronic structure of TiO<sub>2</sub> nanomaterials for renewable energy applications, *Chemical Reviews*, 114(19):9662-9707. DOI: 10.1021/cr5000893
- [42] Wu S., Weng Z., Liu X., Yeung K.W.K., Chu P.K. (2014) Functionalized TiO<sub>2</sub> based nanomaterials for biomedical applications, *Advanced functional materials*, 24(35):5464-5481. DOI: 10.1002/adfm.201400706
- [43] Robert D., Keller N., Sell E. (2017) Environmental photocatalysis and photochemistry for a sustainable world: a big challenge, *Environmental Science and Pollution Research*, 24(14):12503-12505. DOI: 10.1007/s11356-017-8935-3

УДК: 620.3, 539.8, 628.1

**Д. Ермухамед<sup>1</sup>, Г.К. Мусабек<sup>1,2</sup>, К.К. Диханбаев<sup>1,2</sup>, Ш.Б. Байганатова<sup>1</sup> и В.А. Сиваков<sup>3</sup>**

<sup>1</sup>Казахский Национальный университет им. аль-Фараби, Алматы, Казахстан;

<sup>2</sup>Национальная нанотехнологическая лаборатория открытого типа, Алматы, Казахстан;

<sup>3</sup>Лейбниц Институт фотонных технологий, Йена, Германия

**СОВРЕМЕННЫЕ ДОСТИЖЕНИЯ В ОБЛАСТИ ИССЛЕДОВАНИЯ  
И ПРИМЕНЕНИЯ ФОТОКАТАЛИТИЧЕСКИХ ПРОЦЕССОВ  
НА ОСНОВЕ ПОЛУПРОВОДНИКОВЫХ МАТЕРИАЛОВ**

**Аннотация.** Благодаря широким возможностям применения в различных отраслях полупроводниковый фотокатализ в последние годы привлекает все большее внимание исследователей. Статья посвящена обзору современных достижений в области исследования и применения фотокатализитических процессов на основе полупроводниковых материалов. В работе рассмотрены механизмы фотокатализитических реакций, а также, дается информация о фотокатализитических свойствах новых фотоактивных материалов. Диоксид титана рассматривается как широко распространенный классический фотокатализатор. С одной стороны многолетние и разносторонние исследования фотокатализитических свойств диоксида титана, позволившие определить основные требования, предъявляемые фотокатализаторам в целом, и бурное развитие нанотехнологий дали возможность ученым создавать технологии получения новых фотокатализически активных наноматериалов. Среди современных наноструктурированных материалов можно отметить гибридные структуры на основе графена, черный диоксид титана, графитный нитрид углерода и кремниевые нанонити как наиболее перспективные и эффективные материалы.

**Ключевые слова:** фотокатализ, полупроводники, наноструктуры, гибридные материалы, кремневые нанонити.